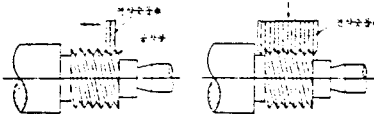
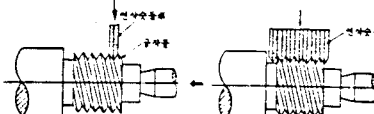
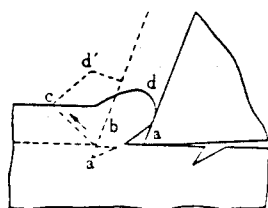
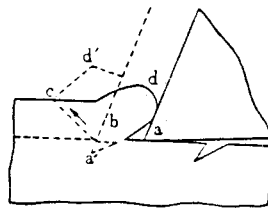


## 標準 機械工作法 正誤表

쪽	행	誤	正
차례	上12	2-10 鑄物の 缺陷과 檢査	2-10 鑄物の 缺陷과 檢査 및 試驗
14	F2	목계선반의	목공선반의
19	F3	$\phi = \frac{L-l}{L}, L = \frac{l}{1-\phi}$	$\phi = \frac{L-l}{L}$
19	F2	木型의 치수를 鑄物의 치수와	鑄物의 치수를 木型의 치수와
19	F1	$L = l + \phi \cdot L = l + \frac{\phi}{1-\phi} \times l$	$l = L(1-\phi)$
20	上4	$L^3 = (l + \frac{\phi}{1-\phi} \times l)^3 \approx l^3(1+3\phi)$	$L^3(1-\phi)^3 \approx (1-3\phi)$
21	上9	Fig. I-31과 같이	Fig. I-31(c)와 같이
28	F7	50 $\mu$ m이하	50 $\mu$ m
36	F9	(wooden bores)	(wooden horse)
43	上1	Fig. I-78 齧기 안내판과 형을 이용한 주형제작	Fig. I-78 齧기 안내판과 형을 이용한 flange 붙은 곡판의 주형제작
43	F3	溜	溜
74	F5	pin hole의	pinhole의
77	上4	trichoroethylene의	trichloroethylene의
78	F6	2-10 鑄物の 缺陷과 檢査	2-10 鑄物の 缺陷과 檢査 및 試驗
80	上20	㉔주형상자 조립의	㉔주형상자 조립의
81	上3	2-10-2 鑄物の 檢査	2-10-2 鑄物の 檢査 및 시험
83	上1	metallurgy)	metallurgy)
178	F4	roller는	billet이
240	上17	journal bearing,	journal,
255	F1	8) ratchet spanner	8) ratchet spanner
306	F6	bed, 심압대(tailstock), 주축대(headstock), 왕복대(carriage)	주축대(headstock), 왕복대(carriage), 심압대(tailstock), bed
321	F1	micrometer gauge	micrometer, gauge
327	F7	작을 때에는	클 때에는
327	F6	클 때에는	작을 때에는
327	F2	helix angle(lead angle)은	lead angle은
340	上10	base의	table의
344	上1	2-2-5	2-2-4
346	上1	2-2-6	2-2-5
346	上12	2-2-7	2-2-6
346	F5	2-2-8	2-2-7
347	上4	2-2-9	2-2-8
347	F3	2-2-10	2-2-9
350	上4	쉽게 파손되어	쉽게 손상되어
363	F3,4	ratchet	ratchet
	Fig. VII-124		
368	F2	절삭을하여	절삭을 한 후
373	Fig. VII-150 제목內	block diagram	block diagram
377	上11	6→7→8→9→10→12	6→7→8→9→10→2
380	上4	원호의	릉호의
385	上5	clutch→A→B	clutch A→B
396	上2	7-5-1 cutter의 재료	7-5-1 cutter의 종류
408	上17	(2) spiral(또는 helical) gear의 절삭	helical gear의 절삭
411	F1	$D = \frac{N}{DP} = \frac{18}{12} = 1.5(in)$	$D = \frac{N+2}{DP} = \frac{20}{12} = 1.66(in)$
412	上1	$L = \frac{\pi \times 1.5}{\tan 18^\circ} = 14.50(in)$	$L = \frac{\pi \times 1.66}{\tan 18^\circ} = 16(in)$
412	上3	$\frac{14.50}{10} = \frac{66}{30} \times \frac{32}{48}$	$\frac{16}{10} = \frac{66}{30} \times \frac{32}{44}$

쪽	행	誤	正
412 417	Fig. VII-232 上6, 7, 8	흡놀이 robe	흡깊이 lobe
424	Fig. VII-255		
425	Fig. VII-260	≡	화살표삭제
440	下1, 2	形板	型板
441	上1	形板	型板
449	上13	$\frac{c_1}{c_2}$	$\frac{z_1}{z_2}$
449	上14	$c_1=c_2$	$z_1=z_2$
450	上7	$c_1 \rightarrow c_2$	$z_1 \rightarrow z_2$
450	上9	$\frac{c_1}{c_2}$	$\frac{z_1}{z_2}$
450	上10	$c_1=c_2$	$z_1=z_2$
453	上9	Engineers	Engineers'
453	Fig. VII-289	절삭깊이(D)	절삭깊이(C)
458	下2	냉각액	공작액
474	下3	aluminium(A)	aluminium(AlO <sub>3</sub> )
486	上2, 4	입도	입자
503	下2	condensor	condenser
504	上14	condensor	condenser
505	Fig. IX-18	condensor	condenser
514	下10	병용하는	병행하는
518	下1, 3, 4	$y_i$	$y_i$
519	上7, 9, 11	$y_i$	$y_i$
520	下1	program	programming
521	下5, 6, 7	program	programming
522	上7	programming	program
524	下3	code 변환	code 변환,
528	Fig. XI-6		
540	上5	중량과	질량과
548	上12, 13	순결보기면적	실접촉면적
548	上13	면적이며,	비이며,